

УДК: 539.17.01

Математическое моделирование двуядерных систем при низкоэнергетических ядерных реакциях

В. В. Самарин

Объединённый институт ядерных исследований,
Россия, 141980, Московская обл., Дубна, ул. Жолио Кюри, д. 6

E-mail: v-samarin@yandex.ru

Получено 17 апреля 2010 г.

Для квантового описания поведения двуядерных систем на начальной стадии околобарьерного слияния тяжелых ядер использованы численные методы нахождения коллективных и одночастичных состояний. Коллективные возбужденные состояния в таких системах представляют собой согласованные колебания поверхностей сферических ядер. Одночастичные состояния внешних нейтронов аналогичны состояниям валентных электронов двухатомных молекул.

Ключевые слова: двуядерные системы, методы решения уравнения Шредингера

Mathematical modeling of dinuclear systems in low energy nuclear reactions

V. V. Samarin

Joint Institute for Nuclear Research, 141980 Dubna, Moscow region, Russia

Abstract. – Numerical methods of obtaining collective and one-particle states were used for the quantum description of two-nuclear systems behavior at the initial stage of near-barrier heavy nuclei fusion. The collective excited states in such systems represent concordant oscillations of surfaces of spherical nuclei. The one-particle states of the external neutrons are similar to the states of valence electrons of diatomic molecules.

Keywords: two-nuclei systems, methods of Schrödinger equation solving

Citation: *Computer Research and Modeling*, 2010, vol. 2, no. 4, pp. 385–392 (Russian).

Введение

Низкоэнергетические реакции слияния тяжелых ядер являются важным инструментом синтеза новых сверхтяжелых элементов [Oganessian et al., 2006; 2010] и исследования существующих атомных ядер [Rowley, 1998; Dasgupta, 1998; Загребяев В. И. и др., 2007; Zagrebaev et al., 2007]. Медленное относительное движение атомных ядер при лобовых и касательных столкновениях [Flerov, 1958] ведет к значительному изменению волновых функций ядерных нуклонов, что нарушает условие применимости традиционной теории возмущений [Давыдов, 1973]. Однако адиабатическое приближение Борна–Оппенгеймера [Давыдов, 1973] позволяет анализировать такие столкновения путем раздельного рассмотрения медленного движения тяжелых ядер и быстрого движения составляющих их легких нуклонов. Для описания движения нуклонов используются взаимно дополняющие модели атомных ядер: одночастичная (оболочечная), предполагающая независимое рассмотрение нуклонов, и коллективная, рассматривающая согласованные движения внешних нуклонов как колебания поверхности ядер [Широков, Юдин, 1980]. Элементарные возбуждения (кванты) таких колебаний по аналогии с колебаниями атомов кристалла называют фононами. Фононы и одночастичные состояния в системе двухатомных ядер, пребывающих достаточно долгое время на расстоянии действия ядерных сил, отличаются от аналогичных состояний изолированных атомных ядер. Изучение их свойств и влияния на процессы слияния-деления атомных ядер представляет значительный интерес.

Модель

Коллективные возбужденные состояния в сферических атомных ядрах представляют собой колебания поверхности (фононы) мультипольности $\lambda = 2, 3, \dots$ [Широков, Юдин, 1980]. Энергии $\varepsilon_\alpha(R)$ и волновые функции Φ_α возмущенных стационарных колебательных состояний в двуйдерной системе, соответствующих деформациям поверхностей ядер вдоль межъядерной оси, находятся из многомерного уравнения Шредингера [Самарин, 2009]

$$\left[\sum_{i\lambda} H_{i\lambda} + V(R, \boldsymbol{\beta}) - V(R) \right] \Phi_\alpha(R, \boldsymbol{\beta}) = \varepsilon_\alpha(R) \Phi_\alpha(R, \boldsymbol{\beta}), \quad (1)$$

где $H_{i\lambda}$ – гамильтонианы независимых колебаний мультипольности λ поверхности i -го ядра, $i = 1, 2$, $\beta_{i\lambda}$ – соответствующие параметры деформации, $\boldsymbol{\beta} = \{\beta_{i\lambda}\}$, $V(R)$ и $V(R, \boldsymbol{\beta})$ – потенциальные энергии взаимодействия сферических и динамически деформированных ядер, $V(R) \equiv V(R, 0)$. Гамильтонианы $H_{i\lambda}$ представляют собой гамильтонианы линейных осцилляторов [Давыдов, 1973]. Для коллективных степеней свободы используем разложение по осцилляторным функциям $\varphi_\nu(\boldsymbol{\beta})$ для бесконечно удаленных ядер

$$\Phi_\alpha(R, \boldsymbol{\beta}) = \sum_\nu c_\nu(R) \varphi_\nu(\boldsymbol{\beta}), \quad (2)$$

$$\left[\sum_{i\lambda} H_{i\lambda} \right] \varphi_\nu(\boldsymbol{\beta}) = \varepsilon_\nu \varphi_\nu(\boldsymbol{\beta}), \quad (3)$$

где ε_ν , $\nu = 0, 1, \dots$ – энергии возбуждений, причем можно полагать $\varepsilon_0 = 0$.

Уравнение (1) сводится к однородной системе линейных уравнений

$$\left[\varepsilon_\nu \delta_{\mu\nu} - \varepsilon_\alpha(R) + V_{\mu\nu}(R) - V(R) \delta_{\mu\nu} \right] c_\mu(R) = 0, \quad (4)$$

где $V_{\mu\nu}(R) = \langle \varphi_\mu | V(R, \boldsymbol{\beta}) | \varphi_\nu \rangle$ – матрица связи каналов [Samarin, Zagrebaev, 2004]. Для поиска $\varepsilon_\alpha(R)$ использовано определение собственных значений матрицы с элементами $[\varepsilon_\nu - V(R)] \delta_{\mu\nu} +$

$+V_{\mu\nu}(R)$ с помощью стандартной процедуры диагонализации матрицы связи каналов $V_{\mu\nu}(R)$ [Уилкинсон, Райнш, 1976].

В модели независимых частиц (оболочечной модели) состояния нуклонов находятся из стационарного уравнения Шредингера с учетом спин-орбитального взаимодействия для спинорной волновой функции $\begin{pmatrix} \psi_1 \\ \psi_2 \end{pmatrix}$ нуклона массы m [Давыдов, 1973; Широков, Юдин, 1980]:

$$\left\{ -\frac{\hbar^2}{2m}\Delta + V(\mathbf{r}) - \frac{b}{2\hbar}\boldsymbol{\sigma}[(\nabla V)\hat{\mathbf{p}}] \right\} \begin{pmatrix} \psi_1 \\ \psi_2 \end{pmatrix} = \varepsilon \begin{pmatrix} \psi_1 \\ \psi_2 \end{pmatrix}, \quad (5)$$

где $\hat{\mathbf{p}}$ – оператор импульса, $\boldsymbol{\sigma} = \{\sigma_x, \sigma_y, \sigma_z\}$ – матрицы Паули. При использовании цилиндрической системы координат (ρ, φ, z) с осью Oz , направленной вдоль межъядерной оси, уравнение (5) сводится к системе уравнений

$$\left[-\frac{\hbar^2}{2m}\Delta + V(\rho, z) + i\frac{b}{2}\frac{1}{\rho}V_\rho\frac{\partial}{\partial\varphi} \right] \psi_1 + i\frac{b}{2}e^{-i\varphi} \left[i\left(V_\rho\frac{\partial}{\partial z} - V_z\frac{\partial}{\partial\rho} \right) - \frac{1}{\rho}V_z\frac{\partial}{\partial\varphi} \right] \psi_2 = \varepsilon\psi_1, \quad (6)$$

$$\left[-\frac{\hbar^2}{2m}\Delta + V(\rho, z) - i\frac{b}{2}\frac{1}{\rho}V_\rho\frac{\partial}{\partial\varphi} \right] \psi_2 - i\frac{b}{2}e^{i\varphi} \left[i\left(V_\rho\frac{\partial}{\partial z} - V_z\frac{\partial}{\partial\rho} \right) + \frac{1}{\rho}V_z\frac{\partial}{\partial\varphi} \right] \psi_1 = \varepsilon\psi_2. \quad (7)$$

Вследствие аксиальной симметрии потенциальной энергии нуклона $V(\rho, z)$ его состояния классифицируются значениями квантового числа проекции полного момента на межъядерную ось $\Omega = \pm 1/2, \pm 3/2, \dots$, а волновые функции представляются в виде:

$$\psi_1 = f_1(\rho, z)\exp(i(\Omega - 1/2)\varphi), \quad \psi_2 = f_2(\rho, z)\exp(i(\Omega + 1/2)\varphi). \quad (8)$$

Для функций $f_1(\rho, z)$, $f_2(\rho, z)$ потребуем выполнения однородных граничных условий вдали от ядер радиусов R_1 , R_2 :

$$f_1(\rho_0, z) = 0, \quad f_2(\rho_0, z) = 0, \quad \rho_0 \gg R_1, R_2. \quad (9)$$

Используем точные в пределе $N \rightarrow \infty$ разложения по собственным функциям $y_{k\lambda}(\rho)$, $y_{k\lambda+1}(\rho)$ краевой задачи:

$$f_1(\rho, z) = \sum_{k=0}^N p_{k\lambda}(z)y_{k\lambda}(\rho), \quad \lambda = |\Omega - 1/2|, \lambda = 0, 1, \dots, \quad (10)$$

$$f_2(\rho, z) = \sum_{k=0}^N q_{k\lambda+1}(z)y_{k\lambda+1}(\rho), \quad \lambda + 1 = \Omega + 1/2, \quad \text{при } \Omega \geq -1/2, \quad (11)$$

$$y_{k\lambda}(\rho) = C_{k\lambda}J_\lambda(\mu_\lambda^{(k)}\rho/\rho_0), \quad C_{k\lambda} = \frac{\sqrt{2}}{\rho_0|J'_0(\mu_\lambda^{(k)})|}, \quad (12)$$

где $J_\lambda(x)$ – функции Бесселя целого порядка $\lambda = 0, 1, \dots$, $\mu_\lambda^{(k)}$ – их нули, $J_\lambda(\mu_\lambda^{(k)}) = 0$. С учетом ортонормированности собственных функций краевой задачи

$$\int_0^{\rho_0} y_{k\lambda}(\rho)y_{n\lambda}(\rho)\rho d\rho = \delta_{kn}$$

при выборе конечного числа слагаемых $N \gg 1$ в суммах (10), (11) для коэффициентов разложения получается система $2N$ «зацепляющихся» дифференциальных уравнений

$$p''_{n\lambda}(z) - \left(\frac{\mu_{\lambda}^{(n)}}{\rho_0}\right)^2 p_{n\lambda} - \sum_{k=1}^N p_{k\lambda}(z) v_{nk}^{(\lambda)} + \sum_{k=1}^N q'_{k\lambda+1}(z) w_{nk}^{(\lambda)} - \sum_{k=1}^N q_{k\lambda+1}(z) t_{nk}^{(\lambda)} = -\frac{2m\varepsilon}{\hbar^2} p_{n\lambda}(z), \quad (13)$$

$$q''_{n\lambda+1}(z) - \left(\frac{\mu_{\lambda+1}^{(n)}}{\rho_0}\right)^2 q_{n\lambda+1} - \sum_{k=1}^N q_{k\lambda+1}(z) u_{nk}^{(\lambda+1)} - \sum_{k=1}^N p'_{k\lambda}(z) w_{kn}^{(\lambda)} - \sum_{k=1}^N p_{k\lambda}(z) \tau_{nk}^{(\lambda)} = -\frac{2m\varepsilon}{\hbar^2} q_{n\lambda+1}(z) \quad (14)$$

с матрицами связи

$$v_{nk}^{(\lambda)} = \frac{2m}{\hbar^2} \int_0^{\rho_0} y_{n\lambda}(\rho) \left[\rho V(\rho, z) - \frac{b\lambda}{2} V_{\rho} \right] y_{k\lambda}(\rho) \rho d\rho, \quad (15)$$

$$u_{nk}^{(\lambda+1)} = \frac{2m}{\hbar^2} \int_0^{\rho_0} y_{n\lambda+1}(\rho) \left[\rho V(\rho, z) + \frac{b(\lambda+1)}{2} V_{\rho} \right] y_{k\lambda+1}(\rho) \rho d\rho, \quad (16)$$

$$w_{nk}^{(\lambda)}(z) = \frac{m}{\hbar^2} \int_0^{\rho_0} y_{n\lambda}(\rho) b V_{\rho} y_{k\lambda+1}(\rho) \rho d\rho, \quad (17)$$

$$t_{nk}^{(\lambda)}(z) = \frac{m}{\hbar^2} \int_0^{\rho_0} y_{n\lambda}(\rho) b V_z \left[C_{k\lambda+1} \mu_{\lambda+1}^{(k)} J_{\lambda}(\mu_{\lambda+1}^{(k)} \rho / \rho_0) \right] \rho d\rho, \quad (18)$$

$$\tau_{nk}^{(\lambda)}(z) = \frac{m}{\hbar^2} \int_0^{\rho_0} y_{n\lambda+1}(\rho) b V_z \left[C_{k\lambda} \mu_{\lambda}^{(k)} J_{\lambda+1}(\mu_{\lambda}^{(k)} \rho / \rho_0) \right] \rho d\rho. \quad (19)$$

Алгоритмы

Для численного решения дифференциальных уравнений (13), (14) записываются их разностные аппроксимации на равномерной сетке $z_i = z_{\min} + ih$, $i = \overline{1, M}$. Приведем пример таких уравнений для $\Omega = 1/2$ и $\lambda = 0$:

$$\begin{aligned} & -p_{n0}(z_{i+1}) + \left[2 + \left(\frac{\mu_0^{(n)}}{\rho_0} \right)^2 h^2 \right] p_{n0}(z_i) - p_{n0}(z_{i-1}) + \sum_{k=1}^N p_{k0}(z_i) \left[v_{nk}^{(0)}(z_i) h^2 \right] - \\ & - \sum_{k=1}^N \frac{h}{2} w_{nk}^{(0)}(z_i) q_{k1}(z_{i+1}) + \sum_{k=1}^N q_{k1}(z_i) \left[t_{nk}^{(0)}(z_i) + s_{nk}^{(0)}(z_i) \right] h^2 + \\ & + \sum_{k=1}^N \frac{h}{2} q_{k1}(z_{i-1}) w_{nk}^{(0)}(z_i) = \varepsilon h^2 p_{n0}(z_i), \end{aligned} \quad (20)$$

$$\begin{aligned} & -q_{n1}(z_{i+1}) + \left[2 + h^2 \left(\frac{\mu_1^{(n)}}{\rho_0} \right)^2 \right] q_{n1}(z_i) - q_{n1}(z_{i-1}) + \\ & + \sum_{k=1}^N q_{k1}(z_i) h^2 \left[v_{nk}^{(1)}(z_i) + \frac{1}{2} u_{nk}^{(1)}(z_i) \right] + \sum_{k=1}^N \frac{h}{2} w_{kn}^{(0)}(z_i) p_{k0}(z_{i+1}) + \\ & + \sum_{k=1}^N p_{k0}(z_i) \tau_{nk}^{(0)}(z_i) h^2 - \sum_{k=1}^N \frac{h}{2} w_{kn}^{(0)}(z_i) p_{k0}(z_{i-1}) = h^2 \varepsilon q_{n1}(z_i). \end{aligned} \quad (21)$$

Полученная разностная задача сводится к проблеме собственных значений несимметричной ленточной матрицы и может быть решена стандартными алгоритмами линейной алгебры, например, методом обратных итераций [Уилкинсон, Райнш, 1976].

Результаты

Результаты расчета энергии возмущенных колебательных состояний (фононов) $\varepsilon_\alpha(R)$ в системах $^{36}\text{S}+^{90}\text{Zr}$ и $^{16}\text{O}+^{144}\text{Sm}$ представлены на рис. 1а, б. В выражениях (1)–(4) учитывались квадрупольные с $\lambda = 2$ и октупольные с $\lambda = 3$ колебания каждого ядра. Энергии таких фононов в первой системе близки: $\varepsilon_{\lambda=2}(^{36}\text{S}) = 3,29$ МэВ, $\varepsilon_{\lambda=3}(^{36}\text{S}) = 4,19$ МэВ, $\varepsilon_{\lambda=2}(^{90}\text{Zr}) = 2,19$ МэВ, $\varepsilon_{\lambda=2}(^{90}\text{Zr}) = 2,75$ МэВ, а во второй системе сильно отличаются (более чем в три раза) $\varepsilon_{\lambda=2}(^{144}\text{Sm}) = 1,66$ МэВ, $\varepsilon_{\lambda=3}(^{144}\text{Sm}) = 1,81$ МэВ, $\varepsilon_{\lambda=3}(^{16}\text{O}) = 6,13$ МэВ, $\varepsilon_{\lambda=2}(^{16}\text{O}) = 6,91$ МэВ.

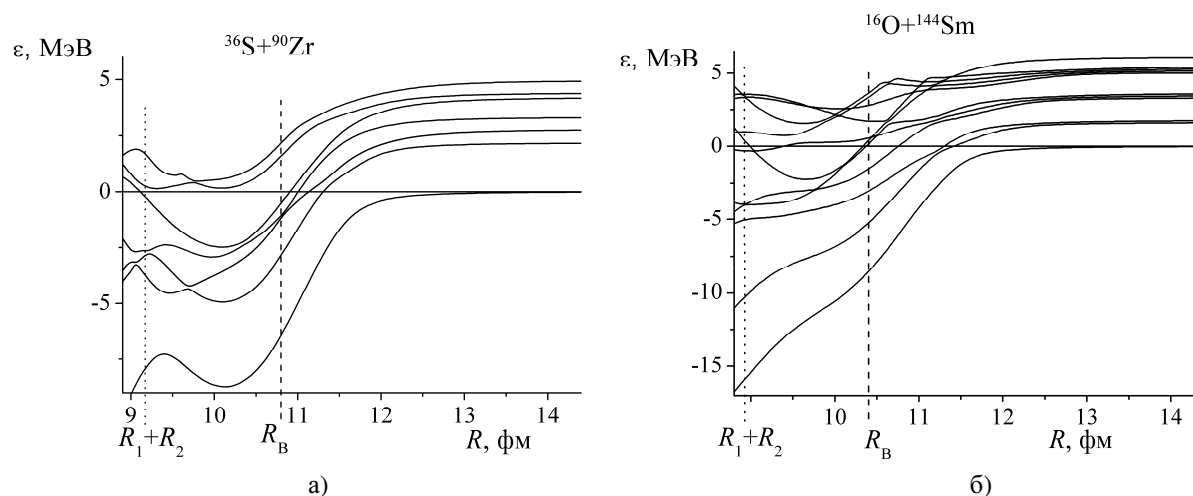


Рис. 1. Энергии $\varepsilon(R)$ возмущенных колебательных уровней для систем $^{36}\text{S}+^{90}\text{Zr}$ (а), $^{16}\text{O}+^{144}\text{Sm}$ (б), R_B – радиус вершины Кулоновского барьера для сферических ядер радиусов R_1 и R_2

Отметим два наиболее важных свойства возмущенных фононов. Во-первых, расстояния между колебательными уровнями $\Delta\varepsilon$ зависят от R , поэтому в околобарьерной области энергии возбуждений, вообще говоря, отличаются от энергий возбуждений в изолированных ядрах. Во-вторых, у кривых $\varepsilon_\alpha(R)$ есть участки сближения (квазипересечения), на которых возмущенные колебательные состояния комбинируются из нескольких мод и существенно отличаются от колебаний в изолированных ядрах. Квазипересечение на рис. 1а имеет место при $R \approx R_B$ для второго и третьего возбужденных возмущенных колебательных состояний ядра ^{90}Zr , соответствующих при $R \rightarrow \infty$ октупольному фонону ядра ^{90}Zr с энергией 2.75 МэВ и квадрупольному фонону ядра ^{36}S с энергией 3.29 МэВ. В системе $^{16}\text{O}+^{144}\text{Sm}$ квазипересекаются при $R \approx 11,3$ фм уровни, соответствующие при $R \rightarrow \infty$ квадрупольному и октупольному фононам ядра ^{144}Sm с энергиями 1.66 и 1.81 МэВ, а также уровни, соответствующие парам таких фононов.

Значения $\varepsilon_\alpha(R_B) < 0$ вблизи от точки R_B – вершины Кулоновского потенциального барьера – связаны с максимумами так называемой функции распределения по барьерам $D(E) = \frac{d^2(E\sigma)}{dE^2}$ [Rowley, 1998], где $\sigma = \sigma(E)$ – экспериментальная зависимость сечения слияния ядер от энергии E в системе центра масс. Разность энергий ΔE между положениями двух пиков функции $D(E)$ равна разности $\Delta\varepsilon(R_B)$ энергий основного и первого наиболее заселенного возбужденного состояния двоядерной системы (Самарин, 2009). Экспериментальная зависимость $D = D(E)$ для

столкновения ядер $^{36}\text{S}+^{90}\text{Zr}$ из работы [Scarlassara *et al.*, 2001] приведена на рис. 2а. Экспериментальное значение $\Delta E \approx 3,5$ МэВ отвечает значению разности энергий первого возбужденного и основного возмущенных колебательных состояний $\Delta E \approx \varepsilon_1(R_B) - \varepsilon_0(R_B)$. Состоянию с энергией $\varepsilon_1(R)$ в пределе $R \rightarrow \infty$ отвечает квадрупольный фонн ядра ^{90}Zr с энергией 2,19 МэВ. Для столкновения ядер $^{16}\text{O}+^{144}\text{Sm}$ зависимость $D = D(E)$ из работ [Leigh *et al.*, 1995; Dasgupta *et al.*, 1998] приведена на рис. 2б. Экспериментальное значение $\Delta E \approx 5$ МэВ отвечает значению разности энергий второго возбужденного и основного возмущенных колебательных состояний $\Delta E \approx \varepsilon_2(R_B) - \varepsilon_0(R_B)$. Состоянию с энергией $\varepsilon_2(R)$ в пределе $R \rightarrow \infty$ за точкой квазипересечения отвечает октупольный фонн ядра ^{144}Sm с энергией 1,81 МэВ.

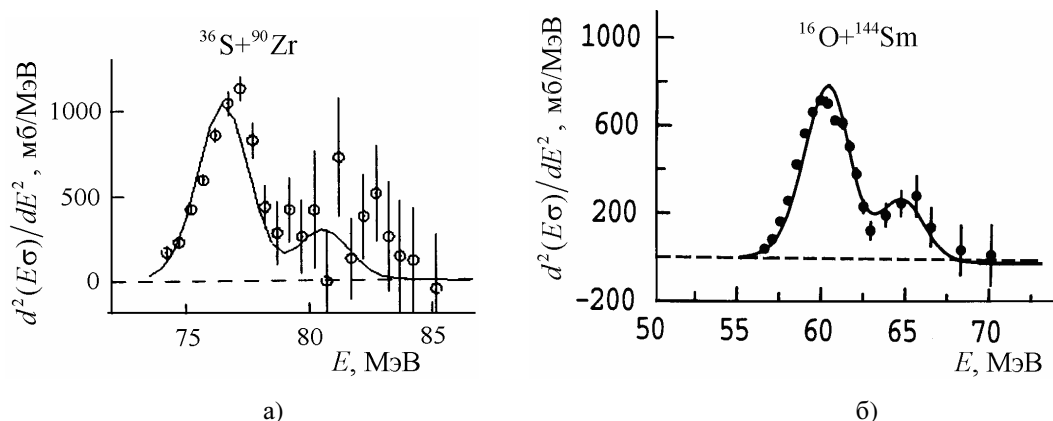


Рис. 2. Функции распределения по барьерам $D(E)$ для столкновений ядер $^{36}\text{S}+^{90}\text{Zr}$, по данным работы [Scarlassara *et al.*, 2001] (а) и $^{16}\text{O}+^{144}\text{Sm}$, по данным работы [Dasgupta *et al.*, 1998] (б)

Результаты решения уравнений (20), (21) с $\Omega = 1/2$ для системы $^{18}\text{O}+^{58}\text{Ni}$ представлены на рис. 3. Плотности вероятности

$$n(\rho, z; R) = |\psi_1|^2 + |\psi_2|^2, \quad (22)$$

для состояний, переходящих при $R \rightarrow \infty$ в состояния $1d_{5/2}$ ядра ^{18}O , $2p_{3/2}$ и $1f_{5/2}$ ядра ^{58}Ni показаны на рис. 3а для межъядерного расстояния $R = 10$ фм вблизи вершины Кулоновского барьера $R_B = 9,2$ фм. Графики зависимостей $\varepsilon(R)$ для внешних нейтронов ядер ^{18}O , ^{58}Ni и низколежащих незанятых нейтронами состояний этих ядер показаны на рис. 3б. Как и на рис. 1, энергии одночастичных возбуждений – расстояния $\Delta\varepsilon$ между нейтронными уровнями с $\Omega = 1/2$ заметно зависят от R в околосбарьерной области при $R \sim R_B$. У некоторых соседних кривых $\varepsilon(R)$, в частности у состояний, переходящих при $R \rightarrow \infty$ в состояния $1d_{5/2}$ и $1s_{1/2}$ ядра ^{18}O и в состояния $2p_{3/2}$ и $1f_{5/2}$ ядра ^{58}Ni , есть участки сближения (квазипересечения). Плотность вероятности (22) внешних нейтронов даже на добарьерных межъядерных расстояниях (рис. 3а) распределяется между обоими ядрами. Такие двуцентровые молекулярные нейтронные состояния аналогичны молекулярным орбиталям (МО) – состояниям валентных электронов в двухатомных молекулах. Они необходимы для описания ядро-ядерных столкновений с перераспределением нуклонов методом возмущенных стационарных состояний [Жигунов, Захарьев, 1974].

Заключение

Проведенное исследование возмущенных коллективных и молекулярных одночастичных состояний двухъядерных систем позволяет лучше понять механизмы низкоэнергетических ядерных реакций. Это может быть полезно при анализе и прогнозировании экспериментальных ре-

зультатов по реакциям слияния-деления атомных ядер. Предложенный метод численного решения уравнения Шредингера для произвольного аксиально-симметричного поля с учетом спин-орбитального взаимодействия может найти применение в квантовой химии и физике линейных наноструктур («квантовых проволок»).

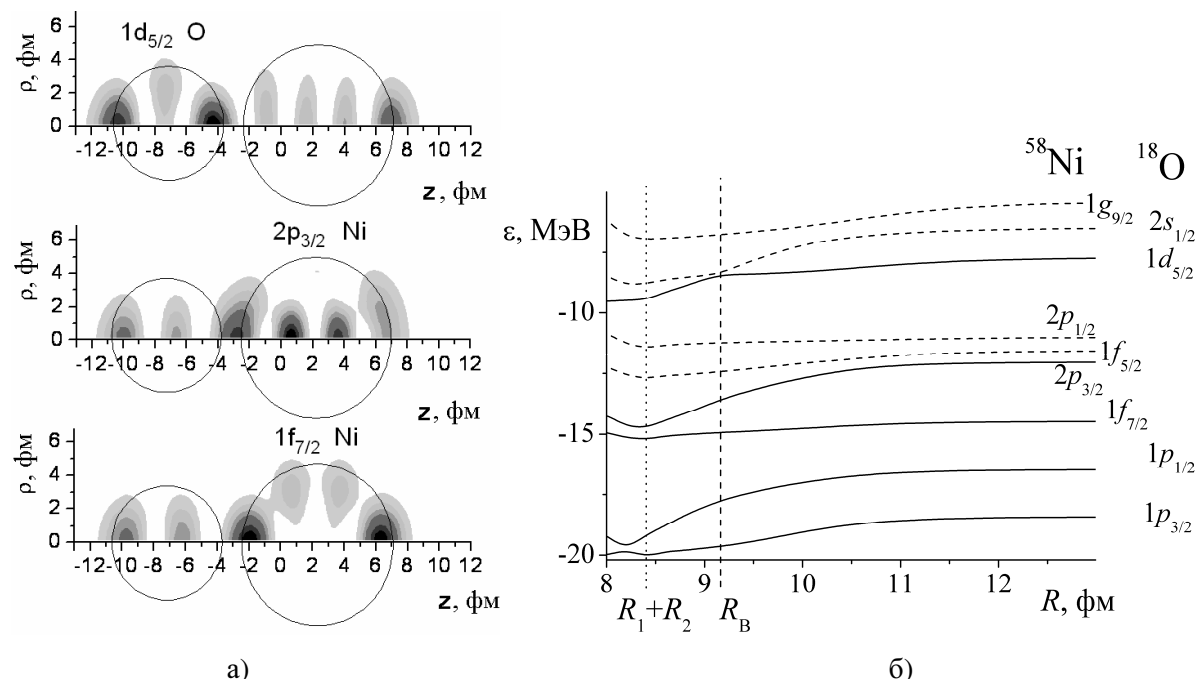


Рис. 3. Плотности вероятности $n(\rho, z; R = 10$ фм) и энергии $\varepsilon(R)$ нейтронных состояний (а) с минимальным модулем проекции полного момента на межъядерную ось и системы ядер $^{18}\text{O} + ^{58}\text{Ni}$ $\Omega = 1/2$. Энергии $\varepsilon(R)$ занятых нейтронами состояний – сплошные линии, незанятых – штриховые линии

Список литературы

- Dasgupta M. et al. Barrier distributions as a tool to investigate fusion and fission // *Nucl. Phys. A.* – 1998. – Vol. 734. – P. 78c–91c.
- Flerov G. N. Heavy Ion Reactions // Proceeding of the Second United Nations International Conference on the Peaceful Uses of Atomic Energy /Geneva, September 1958/. United Nations, Geneva. – 1958. – Vol. 14. – P. 151–157.
- Leigh J. R. et al. Barrier distributions from the fusion of oxygen ions with $^{144,148,154}\text{Sm}$ and ^{186}W // *Phys. Rev. C.* – 1995. – Vol. 52. – P. 3151–3166.
- Oganessian Yu. Ts. et al., Synthesis of the isotopes of elements 118 and 116 in the ^{249}Cf and $^{245}\text{Cm} + ^{48}\text{Ca}$ fusion reactions // *Phys. Rev. C.* – 2006. – Vol. 74. 044602. – P. 1–9.
- Oganessian Yu. Ts. et al., Synthesis of a New Element with Atomic Number $Z = 117$ // *Phys. Rev. Lett.* – 2010. – Vol. 104. – 142502. P. 1–4.
- Rowley N. Structure and reactions at Coulomb-barrier energies // *Nucl. Phys. A.* – 1998. – Vol. 734. – P. 67c–77c.
- Samarin V. V., Zagrebaev V. I. Channel coupling analysis of initial reaction stage in synthesis of super-heavy nuclei // *Nucl. Phys. A.* – 2004 – Vol. 734. – P. 9e–12e.
- Scarlassara F. et al. Sub-barrier fusion and multinucleon transfer in medium-heavy nuclei. Fusion Dynamics at the Extremes (International Workshop, Dubna 25–24 May 2000). Eds Yu. Ts. Oganessian and V. I. Zagrebaev. World Scientific, Singapore, – 2001. – P. 274–283.

Zagrebaev V. I., Samarin V. V., Greiner W. Sub-barrier fusion of neutron-rich nuclei and its astrophysical consequences // *Phys. Rev. C*. – 2007. – Vol. 75. 035809. – P. 1–11.

Давыдов А. С. Квантовая механика. – М.: Наука, 1973.

Загребеев В. И. и др. Потенциальная энергия тяжелой ядерной системы в процессах слияния-деления // *Физика элементарных частиц и атомного ядра*. – 2007. – Т. 38, вып. 4. – С. 893–938.

Жигунов В. П., Захарьев Б. Н. Метод сильной связи каналов в квантовой теории рассеяния. – М.: Атомиздат, 1974.

Самарин В. В. Двухъядерные системы при энергиях вблизи Кулоновского барьера // *Ядерная физика*. – 2009. – Т. 72, №10. – С. 1740–1752.

Уилкинсон Дж., Райни К. Справочник алгоритмов на языке АЛГОЛ: Линейная алгебра. – М.: Машиностроение, 1976.

Широков Ю. М., Юдин Н. П. Ядерная физика. – М.: Наука, 1980.